

Computerphysik SS 2023

Hausaufgabe 5

Gabriel Remiszewski und Christian Fischer

08. Juli 2023

H.1: Frequenzabhängige Fehlerdämpfung mit Multigrid

In dieser Aufgabe wird das Randwertproblem

$$u''(x) = 0, \quad u(0) = 0 = u(\pi),$$

betrachtet. Werden die Randbedingungen für die allgemeine Lösung $u(x) = Ax + B$ ($A, B = \text{const.}$) ausgewertet, so ergibt sich $u(x) = 0$ als spezielle (exakte) Lösung des betrachteten Randwertproblems. Nun soll das in der Vorlesung vorgestellte Multigrid-Verfahren an diesem Problem getestet werden und numerisch die erwartete analytische Lösung liefern.

1. Zunächst wird das Multigrid-Verfahren für den V-Zyklus ($\gamma = 1$) mit variabler Anzahl von Levels implementiert. Dabei geht der Multigrid-Zyklus von einer Näherungslösung v_h für das Gleichungssystem $A_h u_h = f_h$ auf dem feinsten Gitter G_h mit Schrittweite h aus. Hier wird der Algorithmus beispielhaft für zwei Levels vorgestellt. In einem ersten Schritt (Glättung) werden mit dem Gauß-Seidel-Verfahren ν_{pre} Dämpfungsschritte durchgeführt, es wird also $w_h = \mathcal{G}(R)^{\nu_{\text{pre}}} v_h$ (hierbei ist R der Relaxationsparameter) berechnet. In einem zweiten Schritt (Restriktion und Rekursion) wird der Residuenvektor $r_h = f_h - A_h w_h$ berechnet. Es müssen nun zwei Fälle unterschieden werden. Falls $h < h_{\text{max}}$ (das größte Gitter ist noch nicht erreicht), wird aus dem Residuenvektor die neue rechte Seite für das gröbere Gitter $f_{2h} = \mathcal{I}_h^{2h} r_h$ berechnet. Der Projektionsoperator \mathcal{I}_h^{2h} bildet ein Feld w_h von einem feineren auf das gröbere Gitter gemäß folgender Abbildungsvorschrift ab:

$$\mathcal{I}_h^{2h} : G_h \rightarrow G_{2h}, \quad w_h \mapsto \mathcal{I}_h^{2h} w_h = w_{2h}.$$

Die Iterationsvorschrift lautet:

$$w_{2h}(j \cdot 2h) = \frac{1}{4}(w_h((2j-1) \cdot h) + 2w_h(2j \cdot h) + w_h((2j+1) \cdot h)).$$

Dann wird der Multigrid-Zyklus wieder bei dem ersten Schritt gestartet, indem mit A_{2h} und f_{2h} auf G_{2h} w_{2h} berechnet wird. Nun fährt der Algorithmus bei dem dritten Schritt (Prolongation und Korrektur) fort, indem die Lösung aus dem gröberen Gitter G_{2h} durch Prolongation nach G_h abgebildet wird und die Lösung gemäß $w_h \leftarrow \mathcal{I}_{2h}^h w_{2h}$ aktualisiert wird. Die Iterationsvorschrift der Prolongation ($\mathcal{I}_{2h}^h : G_{2h} \rightarrow G_h$) ist gegeben durch:

$$w_h(j \cdot h) = \begin{cases} w_{2h}(\frac{j}{2} \cdot (2h)) & j \text{ gerade} \\ \frac{1}{2}w_{2h}(\frac{j-1}{2} \cdot (2h)) + \frac{1}{2}w_{2h}(\frac{j+1}{2} \cdot (2h)) & j \text{ ungerade} \end{cases}.$$

Im vierten und letzten Schritt (Glättung) wird ν_{post} -mal die Dämpfungsoperation (Gauß-Seidel-Verfahren) angewendet:

$$w_h \leftarrow \mathcal{G}(R)^{\nu_{\text{post}}} w_h.$$

Falls im zweiten Schritt bereits $h = h_{\text{max}}$ gilt, so wird $A_{h_{\text{max}}} e_{h_{\text{max}}} = r_{h_{\text{max}}}$ (hier ist e_h der Fehler zwischen der Näherungslösung und der exakten Lösung) gelöst und gemäß $w_h \leftarrow w_h + e_h$ aktualisiert. Dann erfolgt sofort der vierte Schritt (Glättung). Im allgemeinen Fall für eine variable Anzahl von Levels wird in dem zweiten Schritt auf jedem Level m mit Gitter $G_{2^{m-1}h}$ ($m \geq 1$) der Residuenvektor projiziert und es wird in das nächste Level $m+1$ mit Gitter $G_{2^m h}$ gegangen. Beim Wiederaufstieg werden automatisch alle Lösungen auf den einzelnen Levels aktualisiert.

2. Nun wird das Programm getestet. Der Lösungsalgorithmus wird auf dem feinsten Gitter mit den folgenden anfänglichen Näherungslösungen gestartet:

$$z_k(x_j) = \sin(k \cdot jh), \quad j = 1, \dots, 2^N - 1, \quad N = 7, \quad h = \frac{\pi}{2^N},$$

mit Wellenzahl $k = 1, \dots, 2^N - 1$. Als Abbruchkriterium wird die absolute Genauigkeit $\epsilon_{\text{abs}} = 0.1h^2$ verwendet. In diesem Aufgabenteil wird zunächst das Multigrid-Verfahren mit nur einem Level (also Gauß-Seidel-Verfahren mit Relaxationsparameter $R = 1$) durchgeführt. Auf diesem Level wird $\nu_{\text{pre}} = \nu_{\text{post}} = 1$ als Glättungsschritt verwendet. Hierbei wird die Dämpfungswirkung des Gauß-Seidel-Verfahrens für verschiedene nieder- und hochfrequente Wellenzahlen ($k = 1, 21, 41, 61, 81, 101, 121$) auf dem feinsten Gitter verglichen, indem die Norm der Näherungslösung in Abhängigkeit von der Iterationszahl dargestellt wird. In Abbildung 1 ist zu erkennen, dass die Dämpfungswirkung des Gauß-

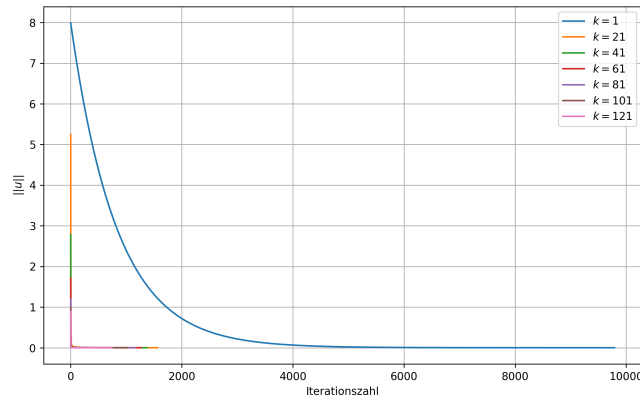


Abbildung 1: Vergleich der Dämpfungswirkung des Gauß-Seidel-Verfahrens für verschiedene Wellenzahlen.

Seidel-Verfahrens für größer werdende Wellenzahlen extrem schnell zunimmt, da dann die Norm der Näherungslösung bereits nach wenigen Iterationen sich wie die Norm der exakten Lösung verhält. In diesem Plot ist aber nicht gut zu erkennen, wie sich dieses Verhalten für Wellenzahlen ab $k \sim 20$ fortführt, da die Graphen auf dieser großen Skala an Iterationsschritten übereinander liegen. Um dies besser erkennen zu können, wird in den Abbildungen 2 und 3 in den Bereich geringer Iterationszahlen hinein gezoomt. Hier ist nun auch deutlich zu erkennen, dass für höherfrequente Wellenzahlen die

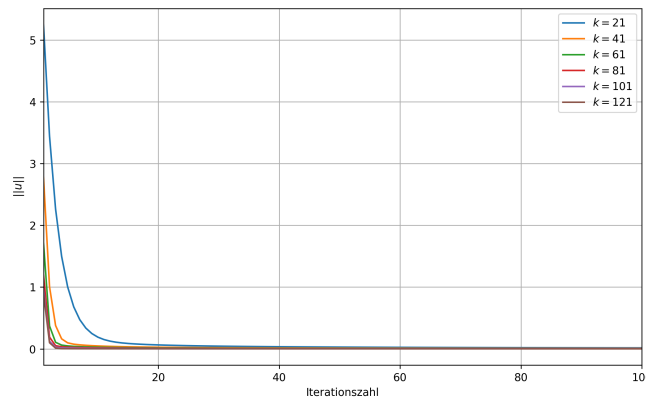


Abbildung 2: Vergleich der Dämpfungswirkung des Gauß-Seidel-Verfahrens für verschiedene Wellenzahlen (Zoom-In).

Dämpfungswirkung erheblich zunimmt, es werden nur noch wenige Iterationen benötigt, sodass die

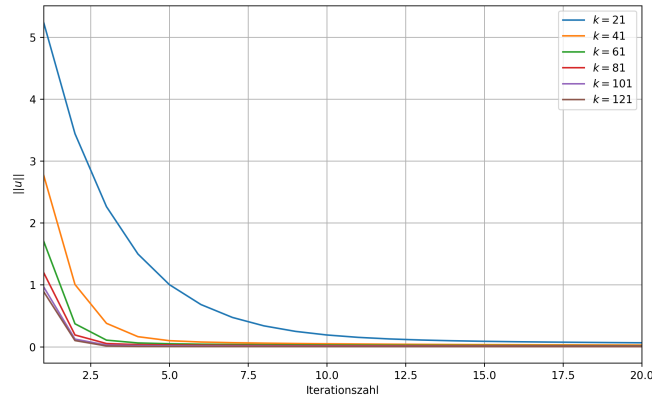


Abbildung 3: Vergleich der Dämpfungswirkung des Gauß-Seidel-Verfahrens für verschiedene Wellenzahlen (starker Zoom-In).

Norm der Näherungslösung gegen die Norm der exakten Lösung konvergiert.

3. In diesem Aufgabenteil wird das Ziel verfolgt, die Dämpfungswirkung durch das Multigrid-Verfahren zu verifizieren. Dafür werden die Level 1, 2, 3, 4 und 5 verwendet. Als Abbruchkriterium wird wieder die absolute Genauigkeit $\epsilon_{\text{abs}} = 0.1h^2$ verwendet. Außerdem wird auf jedem Level $\nu_{\text{pre}} = \nu_{\text{post}} = 1$ als Glättungsschritt benutzt. Um die Dämpfungswirkung der verschiedenen Level zu vergleichen, wird für jedes Level die Norm der Näherungslösung gegen die Iterationszahl für die Wellenzahlen $k = 1, 41, 81, 121$ dargestellt (siehe Abbildungen 4, 5, 6, 7 und 8). Tatsächlich ist eine Steigerung der Dämpfungswir-

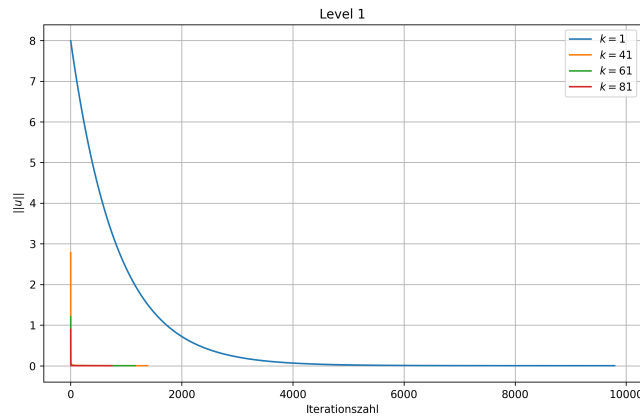


Abbildung 4: Dämpfungswirkung des Multigrid-Verfahrens bei Level 1.

kung durch das Multigrid-Verfahren zu erkennen, da bei steigendem Level des Multigrid-Verfahrens für verschiedene Wellenzahlen immer weniger Iterationsschritte benötigt werden, sodass die Norm der Näherungslösung gegen die Norm der exakten Lösung konvergiert. Um diese Verbesserung eindeutig zu erkennen, werden nochmal die verschiedenen Level in einem gemeinsamen Plot dargestellt (siehe Abbildung 9), indem für jedes Level die Norm der Näherungslösung gegen die Iterationszahl für $k = 1$ aufgetragen wird. Somit lässt sich als Ergebnis festhalten, dass sich mit dem Multigrid-Verfahren die Dämpfungswirkung verbessern lässt, womit numerische Lösungen von Differentialgleichungen letztlich durch wenige Iterationen schnell und effizient bestimmt werden können.

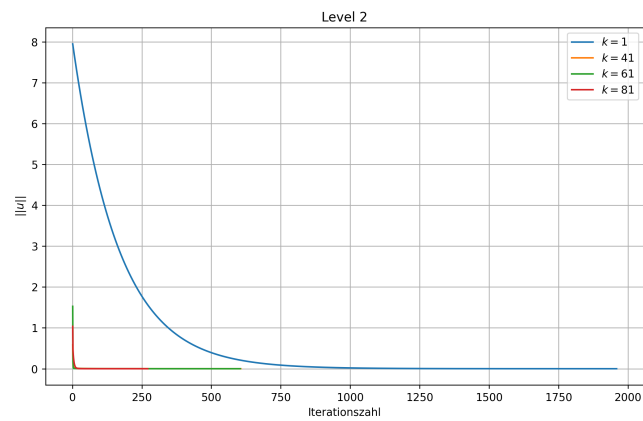


Abbildung 5: Dämpfungswirkung des Multigrid-Verfahrens bei Level 2.

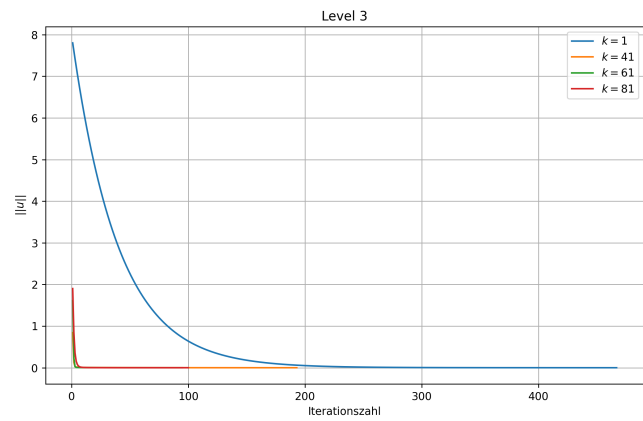


Abbildung 6: Dämpfungswirkung des Multigrid-Verfahrens bei Level 3.

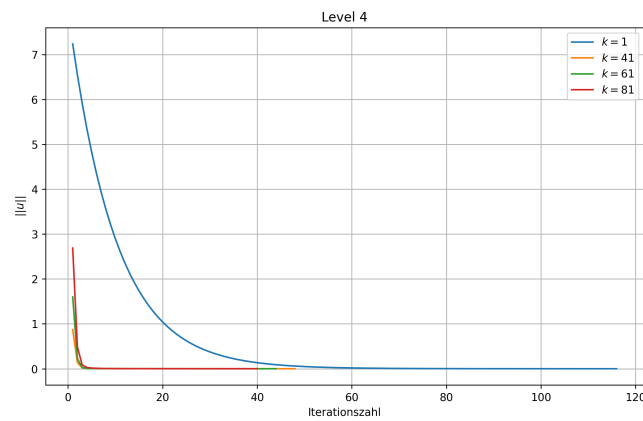


Abbildung 7: Dämpfungswirkung des Multigrid-Verfahrens bei Level 4.

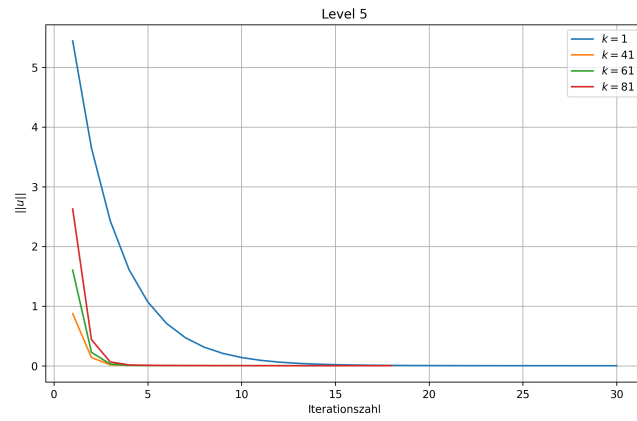


Abbildung 8: Dämpfungswirkung des Multigrid-Verfahrens bei Level 5.

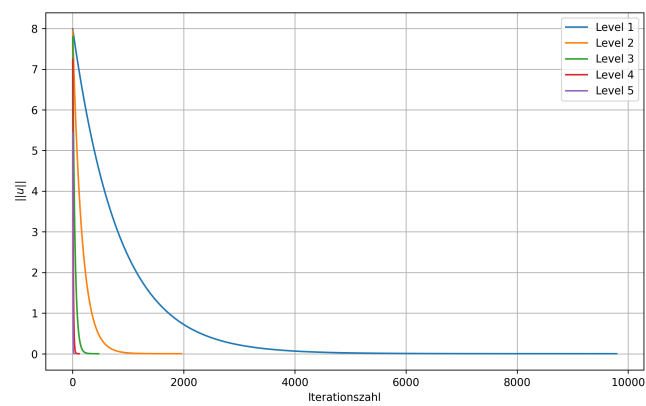


Abbildung 9: Verbesserung der Dämpfungswirkung durch das Multigrid-Verfahren.

H.2: Diskretisierungsunabhängige Konvergenzgeschwindigkeit

In dieser Aufgabe wird das folgende Randwertproblem betrachtet:

$$u''(x) - \omega^2 u(x) = s(x) = -\frac{1}{2}xe^{-x}, \quad u(0) = 0, \quad \lim_{x \rightarrow \infty} u(x) = 0.$$

Hierbei wird die Randbedingung bei großen x durch $u(x) = 0$ für $x \geq R_{\max} = 20$ approximiert. Außerdem wird $\omega = 1$ gesetzt.

1. BLABLABLA

2. Für diesen Aufgabenteil (und die weiteren Aufgabenteile) wird das Multigrid-Verfahren mit V-Zyklus für das gegebene Randwertproblem mit Diskretisierung $x_j = j \cdot h$, $j = 0, \dots, 2^N$ implementiert, wobei analog wie in der ersten Aufgabe vorgegangen wird. Hierbei soll $2^N = 8$ immer das größte Gitter darstellen. Auf diesem Gitter wird dann das entstehende lineare Gleichungssystem mit dem in der Vorlesung vorgestellten Tridiagonalmatrix-Algorithmus gelöst. In jedem Fall wird $\nu_{\text{pre}} = \nu_{\text{post}} = 1$ und Relaxationsparameter $R = 1$ für das Gauß-Seidel-Verfahren verwendet.

3. Zunächst wird die Konvergenzgeschwindigkeit mit dem Multigrid-Verfahren mit nur einem Level (Gauß-Seidel-Verfahren) für feinste Gitter mit $N = 4, 6, 8, 10, 12$ verglichen, indem die Norm des Residuums in Abhängigkeit von der Iterationszahl dargestellt wird. Bei der Implementierung wird die relative Genauigkeit $\epsilon_{\text{rel}} = 10^{-3} \cdot h^2$ (relativ zur Norm von $s(x)$) verwendet.

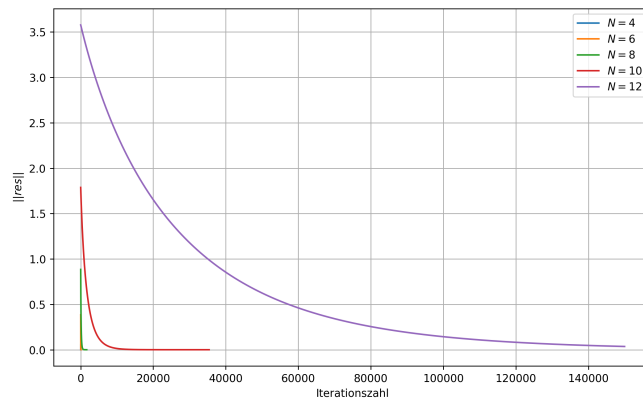


Abbildung 10: Vergleich der Konvergenzgeschwindigkeit des Gauß-Seidel-Verfahrens für $N = 4, 6, 8, 10, 12$.

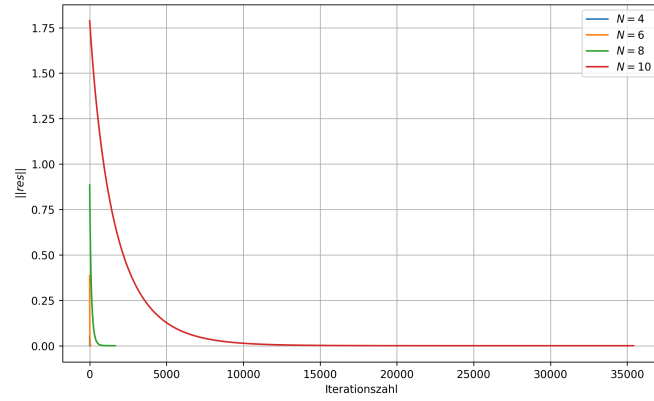


Abbildung 11: Vergleich der Konvergenzgeschwindigkeit des Gauß-Seidel-Verfahrens für $N = 4, 6, 8, 10$.

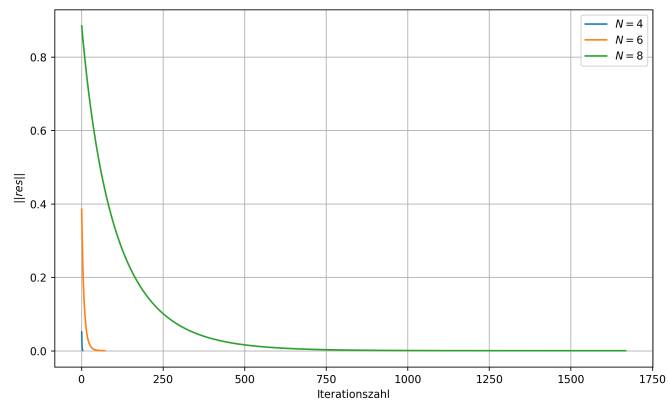


Abbildung 12: Vergleich der Konvergenzgeschwindigkeit des Gauß-Seidel-Verfahrens für $N = 4, 6, 8$.

In den Abbildungen 10, 11 und 12 ist der Vergleich der Konvergenzgeschwindigkeit für verschiedene N dargestellt. Es ist zu erkennen, dass die Konvergenzgeschwindigkeit für kleinere N stark zunimmt, da weniger Iterationen benötigt werden, sodass die Norm des Residuums gegen 0 konvergiert. Es wurden mehrere Abbildungen zur Darstellung verwendet, um besser in den interessanten Bereich hineinzoomen zu können.

4. In diesem Aufgabenteil wird geprüft, wie die Konvergenzgeschwindigkeit mit dem Multigrid-Verfahren von der Schrittweite h abhängt. Dafür wird die Norm des Residuums in Abhängigkeit von der Iterationszahl dargestellt, indem für $N = 4, 6, 8, 10, 12$ jeweils zwei unterschiedliche Level (also unterschiedliche Schrittweiten) verglichen werden. Auch hier wird wieder die relative Genauigkeit $\epsilon_{\text{rel}} = 10^{-3} \cdot h^2$ als Abbruchkriterium verwendet. Die Ergebnisse sind in den Abbildungen 13, 14, 15, 16 und 17 dargestellt.

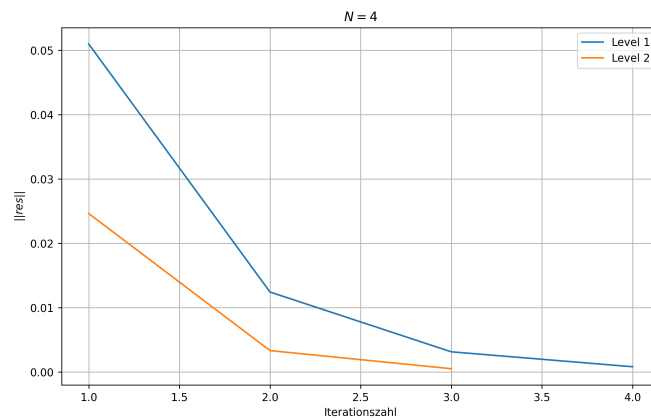


Abbildung 13: Vergleich der Konvergenzgeschwindigkeit für zwei verschiedene Level bei $N = 4$.

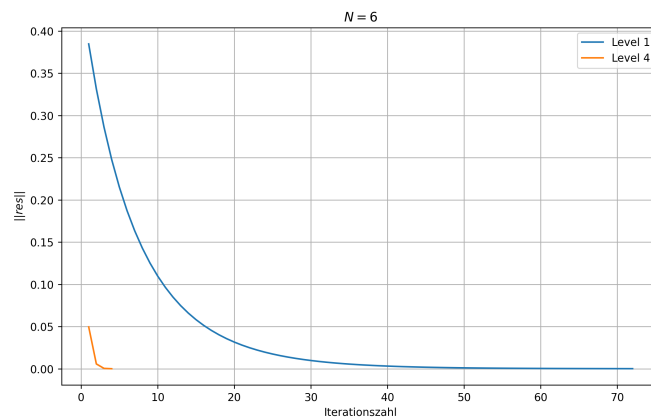


Abbildung 14: Vergleich der Konvergenzgeschwindigkeit für zwei verschiedene Level bei $N = 6$.

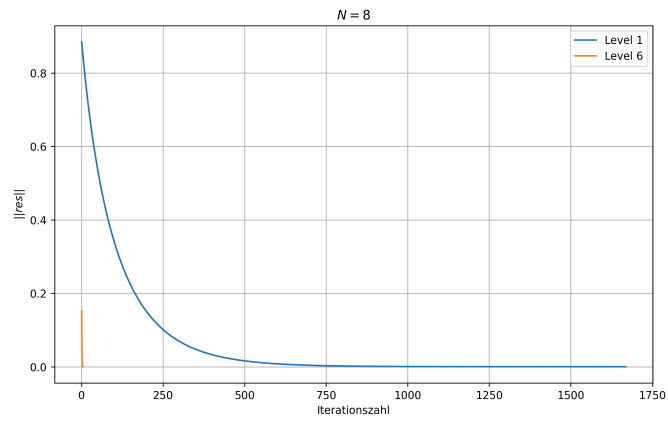


Abbildung 15: Vergleich der Konvergenzgeschwindigkeit für zwei verschiedene Level bei $N = 8$.

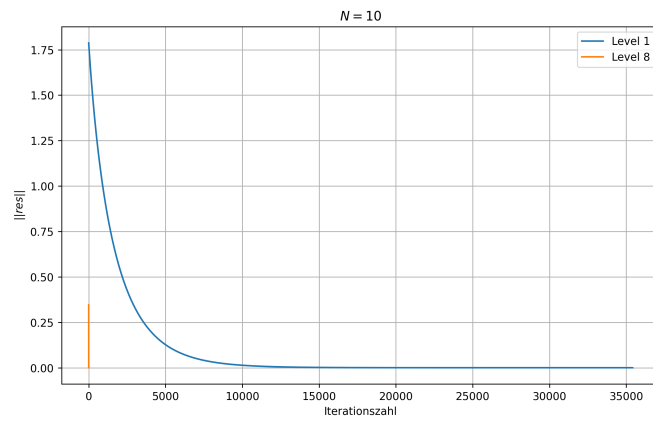


Abbildung 16: Vergleich der Konvergenzgeschwindigkeit für zwei verschiedene Level bei $N = 10$.

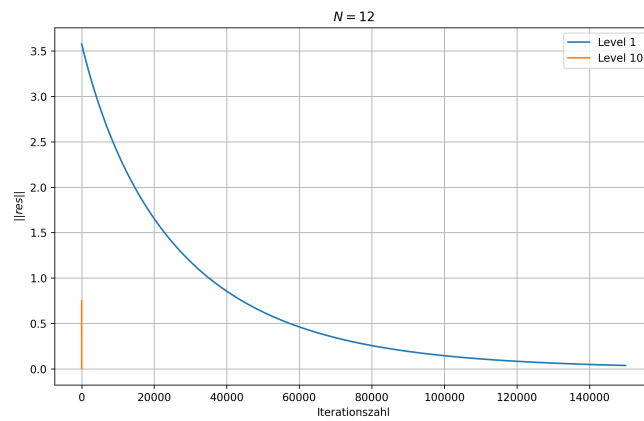


Abbildung 17: Vergleich der Konvergenzgeschwindigkeit für zwei verschiedene Level bei $N = 12$.

Es ist zu erkennen, dass bei verschiedenen Werten N die Konvergenzgeschwindigkeit für höhere Level des Multigrid-Verfahrens extrem stark zunimmt, da weniger Iterationsschritte benötigt werden, sodass die Norm des Residuums gegen 0 konvergiert. Somit kann als Ergebnis festgehalten werden, dass die Konvergenzgeschwindigkeit des Multigrid-Verfahrens für größer werdende Level zunimmt, was gröber werdenden Gittern und einer größer werdenden Schrittweite entspricht.

Abbildungsverzeichnis

1	Vergleich der Dämpfungswirkung des Gauß-Seidel-Verfahrens für verschiedene Wellenzahlen.	2
2	Vergleich der Dämpfungswirkung des Gauß-Seidel-Verfahrens für verschiedene Wellenzahlen (Zoom-In).	2
3	Vergleich der Dämpfungswirkung des Gauß-Seidel-Verfahrens für verschiedene Wellenzahlen (starker Zoom-In).	3
4	Dämpfungswirkung des Multigrid-Verfahrens bei Level 1.	3
5	Dämpfungswirkung des Multigrid-Verfahrens bei Level 2.	4
6	Dämpfungswirkung des Multigrid-Verfahrens bei Level 3.	4
7	Dämpfungswirkung des Multigrid-Verfahrens bei Level 4.	4
8	Dämpfungswirkung des Multigrid-Verfahrens bei Level 5.	5
9	Verbesserung der Dämpfungswirkung durch das Multigrid-Verfahren.	5
10	Vergleich der Konvergenzgeschwindigkeit des Gauß-Seidel-Verfahrens für $N = 4, 6, 8, 10, 12$	6
11	Vergleich der Konvergenzgeschwindigkeit des Gauß-Seidel-Verfahrens für $N = 4, 6, 8, 10$	7
12	Vergleich der Konvergenzgeschwindigkeit des Gauß-Seidel-Verfahrens für $N = 4, 6, 8$	7
13	Vergleich der Konvergenzgeschwindigkeit für zwei verschiedene Level bei $N = 4$	8
14	Vergleich der Konvergenzgeschwindigkeit für zwei verschiedene Level bei $N = 6$	8
15	Vergleich der Konvergenzgeschwindigkeit für zwei verschiedene Level bei $N = 8$	9
16	Vergleich der Konvergenzgeschwindigkeit für zwei verschiedene Level bei $N = 10$	9
17	Vergleich der Konvergenzgeschwindigkeit für zwei verschiedene Level bei $N = 12$	9